

→ die komplette Matrix V_{jt} :

$$V_{jt} = \overset{k}{i \downarrow} \begin{pmatrix} 0 & -3e|\vec{E}|a & 0 & 0 \\ -3e|\vec{E}|a & 0 & 0 & 0 \\ 0 & 0 & 0 & 0 \\ 0 & 0 & 0 & 0 \end{pmatrix} \quad (\text{für } z=1)$$

missen also die folgende Sekulargleichung lösen:

$$\det \begin{pmatrix} -\eta & -3e|\vec{E}|a & 0 & 0 \\ -3e|\vec{E}|a & -\eta & 0 & 0 \\ 0 & 0 & -\eta & 0 \\ 0 & 0 & 0 & -\eta \end{pmatrix} = \eta^2 [\eta^2 - (3e|\vec{E}|a)^2] = 0$$

$$\Leftrightarrow \text{EW bzw } E_2\text{-Korrekturen } \eta \in \{0, 0, +3e|\vec{E}|a, -3e|\vec{E}|a\}$$

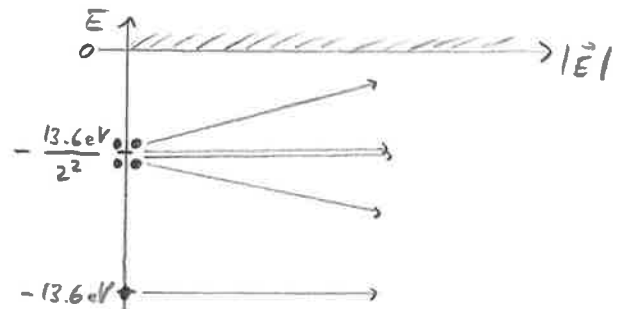
$$\Rightarrow \text{Eigenzustände: } \eta=0: \begin{pmatrix} 0 \\ 0 \\ 1 \\ 0 \end{pmatrix} \Leftrightarrow |211\rangle \quad \text{und} \quad \begin{pmatrix} 0 \\ 0 \\ 0 \\ 1 \end{pmatrix} \Leftrightarrow |21-1\rangle$$

("gute Basis") n.l.m.

$$\eta = +3e|\vec{E}|a: \frac{1}{\sqrt{2}} \begin{pmatrix} 1 \\ -1 \\ 0 \\ 0 \end{pmatrix} \Leftrightarrow \frac{1}{\sqrt{2}} (|200\rangle - |210\rangle)$$

$$\eta = -3e|\vec{E}|a: \frac{1}{\sqrt{2}} \begin{pmatrix} 1 \\ 1 \\ 0 \\ 0 \end{pmatrix} \Leftrightarrow \frac{1}{\sqrt{2}} (|200\rangle + |210\rangle)$$

Insgesamt ist die Entartung des H-Spektrums durch das äußere Feld \vec{E} teilweise aufgelöst:



6.5 Anwendungen; H-Fernstruktur

E_n -Niveaus des Wasserstoffatoms sind n^2 -fach entartet, wollen nun die "Fernstruktur" des Spektrums bestimmen (vgl. Bem. auf S. 63; hier $z=1$), per Stör.

Bsp Fernstruktur des H-Spektrums [vgl. Rinster, §17.3]
(relativistische Korrektur aus "Dirac-Gly" → QM II)

$$\hat{H} = \hat{H}_0 + \underbrace{\hat{H}_a + \hat{H}_b + \hat{H}_c}_{\text{kleine Störung}}$$

$$\uparrow \quad \frac{\hat{p}^2}{2\mu} + V(r), \quad \text{vgl. §5, } V(r) = -\frac{e^2}{4\pi\epsilon_0 r} \equiv -\frac{\gamma}{r}$$

die hier zu betrachtenden Korrekturen:

(a) relativistische kinetische Energie

$$E = \sqrt{\mu^2 c^4 + p^2 c^2} \approx \mu c^2 + \frac{p^2}{2\mu} - \frac{1}{8} \frac{p^4}{\mu^3 c^2} + \dots$$

Ruheenergie \uparrow
 schon in H_0 \uparrow $\equiv H_a = -\frac{1}{2\mu c^2} \left(H_0 + \frac{p^2}{r}\right)^2$

(b) Spin-Bahn-Kopplung, aus Dirac-Glz

((im e^- -Ruhesystem erzeugt p^\dagger ein \vec{B} -Feld;
koppelt per $\vec{S} \cdot \vec{B}$ an den Spin des e^-))

$$H_b \equiv \frac{1}{2\mu^2 c^2} \vec{S} \cdot \vec{L} \frac{1}{r} V'(r) = \frac{1}{2\mu^2 c^2} \vec{S} \cdot \vec{L} \frac{p}{r^3}$$

(c) Darwin-Term, aus Dirac-Glz

$$H_c \equiv \frac{\hbar^2}{8\mu^2 c^2} \nabla^2 V(r) \approx \frac{\pi \hbar^2 p}{2\mu^2 c^2} \delta^{(3)}(\vec{r})$$

$$\Delta \left(-\frac{1}{4\pi r} \right) = \delta^{(3)}(\vec{r})$$

Notation: H_b hat Spin-Anteil \rightarrow müssen nun Wellenfkt'n mit

Spin verwenden! e^- hat $|s, m_s\rangle = |\frac{1}{2}, \pm \frac{1}{2}\rangle$

\leftarrow ab jetzt weglassen

ungestörtes Problem \hat{H}_0 hat die Lsg (vgl. §5)

$$E_{0n} = -\frac{1}{2} \mu c^2 \frac{\alpha^2}{n^2} = -\frac{13.6 \text{ eV}}{n^2} \quad (\text{Rydberg}), \quad \alpha \equiv \frac{e^2}{4\pi\epsilon_0 \hbar c} \approx \frac{1}{137}$$

$$|n; l, m_l; m_s\rangle \hat{=} R_{nl}(r) Y_{lm_l}(\vartheta, \varphi)$$

\rightarrow addiere $\vec{L} + \vec{S} \equiv \vec{J}$ zum Gesamtdrehimpuls, kann also
auch Zustände $|n; j, M; l\rangle$ mit $j = l \pm \frac{1}{2}$ verwenden.

$$\left(\text{Erinnerung §4.5: } \left| l \begin{pmatrix} s \\ \frac{1}{2} \end{pmatrix} m_l m_s \right\rangle \overset{\text{CGK}}{\longleftrightarrow} \left| l \begin{pmatrix} s \\ \frac{1}{2} \end{pmatrix} j M \right\rangle \right)$$

$\begin{matrix} \downarrow \\ L_{m_l + m_s} \\ |l - \frac{1}{2}| \dots l + \frac{1}{2} \end{matrix}$

Nun Stö. 1. Ordnung:

(a) $H_a = -\frac{1}{2\mu c^2} \left(H_0 + \frac{p^2}{r}\right)^2$ ist bereits diagonal in der
gewählten Basis.

$$\langle n; j, M; l | H_0^2 + 2\mu H_0 \frac{1}{r} + \mu^2 \frac{1}{r^2} | n; j, M; l \rangle =$$

$$= E_{0n}^2 + 2\mu E_{0n} \left\langle \frac{1}{r} \right\rangle_{nl} + \mu^2 \left\langle \frac{1}{r^2} \right\rangle_{nl}$$

benötigen also zur Bestimmung der Drehmomentmatrixelemente lediglich radiale Erwartungswerte.

((Erinnerung § 5.2: $R_{nl}(r) \sim (kr)^l e^{-kr} \sum_{p=0}^{n-l-1} a_p (kr)^p$, $\kappa = \frac{1}{an}$
 $\frac{a_{p+1}}{a_p} = \frac{p+l+1-n}{(p+1)(l+p+1/2)}$ (kann man lösen) $(kr)^l e^{-kr} a_0 L_{n-l-1}^{2l+1}(2kr)$))

↳ mit vorabg. Laguerre-Polynomen
 $L_n^m(x)$ (= Laguerre $L[n, m, x]$ in Pakketation)
 diese lösen $xy'' + (m+1-x)y' + ny = 0$))

benutze [Bethe, Salpeter: Quantum Mechanics of One- and Two-Electron Atoms, Plenum, New York, 1977; S. 17]
 $\langle r^a \rangle_{nl}$ aus

salber?!
 a.b. vom
 Virialtheorem
 Ü 35

$\langle \frac{1}{r} \rangle_{nl} = \frac{1}{an^2}$, $\langle \frac{1}{r^2} \rangle_{nl} = \frac{1}{a^2 n^3 (l + \frac{1}{2})}$, $\langle \frac{1}{r^3} \rangle_{nl} = \frac{2}{a^3 n^3 l(l+1)(2l+1)}$ (R21)

((Erinnerung: Bohr-Radius $a = \frac{4\pi\epsilon_0 \hbar^2}{e^2 \mu}$))

$\Rightarrow E_n^{(1)(a)} = -\frac{1}{2\mu c^2} \left(E_{n0}^2 + 2\gamma E_{n0} \frac{1}{an^2} + \gamma^2 \frac{1}{a^2 n^3 (l + \frac{1}{2})} \right)$
 $= E_{n0} \frac{\alpha^2}{n^2} \left(\frac{1}{4} - 1 + \frac{n}{l + \frac{1}{2}} \right)$

(b) $H_b = \frac{1}{2\mu^2 c^2} \vec{S} \cdot \vec{L} \frac{\gamma}{r^3}$

ist auch schon diagonal, denn: $\vec{J}^2 = (\vec{S} + \vec{L})^2 = \vec{S}^2 + \vec{L}^2 + 2\vec{S} \cdot \vec{L}$
 $\Leftrightarrow \vec{S} \cdot \vec{L} = \frac{1}{2} [\vec{J}^2 - \vec{L}^2 - \vec{S}^2]$

$\Rightarrow \vec{S} \cdot \vec{L} |n; j, m; l\rangle = \frac{1}{2} \hbar^2 [j(j+1) - l(l+1) - \frac{1}{2} \cdot \frac{3}{2}] |n; j, m; l\rangle$
 $[...] = 0$ for $l=0$, da dann $j = \frac{1}{2}$

$\Rightarrow E_n^{(1)(b)} = \begin{cases} l=0: 0 \\ \text{sonst: } \frac{1}{2\mu^2 c^2} \frac{\hbar^2}{2} [...] \gamma \langle \frac{1}{r^3} \rangle_{nl} = E_{0n} \frac{\alpha^2}{n^2} \left(-n \frac{[...]}{l(l+1)(2l+1)} \right) \end{cases}$

(c) $H_c = \frac{\pi \hbar^2 \gamma}{2\mu^2 c^2} \delta^{(2)}(\vec{r})$

$\Rightarrow E_n^{(1)(c)} = \frac{\pi \hbar^2 \gamma}{2\mu^2 c^2} |R_{nl}(0)|^2 = \frac{\hbar^3}{\pi} \delta_{l0}$
 $= E_{0n} \frac{\alpha^2}{n^2} (-n \delta_{l0})$

Wir erhalten also insgesamt für die Korrekturen an l.o. Stn

$$E_n^{(1)} = E_{n0} \frac{\alpha^2}{n^2} \left\{ \frac{1}{4} - 1 + \frac{n}{l+\frac{1}{2}} - n \frac{j(j+1) - l(l+1) - \frac{3}{4}}{l(l+1)(2l+1)} (1 - \delta_{l0}) - n \delta_{l0} \right\}$$

für $l \neq 0$: benutze $j = l \pm \frac{1}{2}$ zur Vereinfachung

$$j = l + \frac{1}{2} : \{ \dots \} = -\frac{3}{4} + \frac{n}{l+1} = -\frac{3}{4} + \frac{n}{j+\frac{1}{2}}$$

$$j = l - \frac{1}{2} : \{ \dots \} = -\frac{3}{4} + \frac{n}{l} = -\frac{3}{4} + \frac{n}{j+\frac{1}{2}}$$

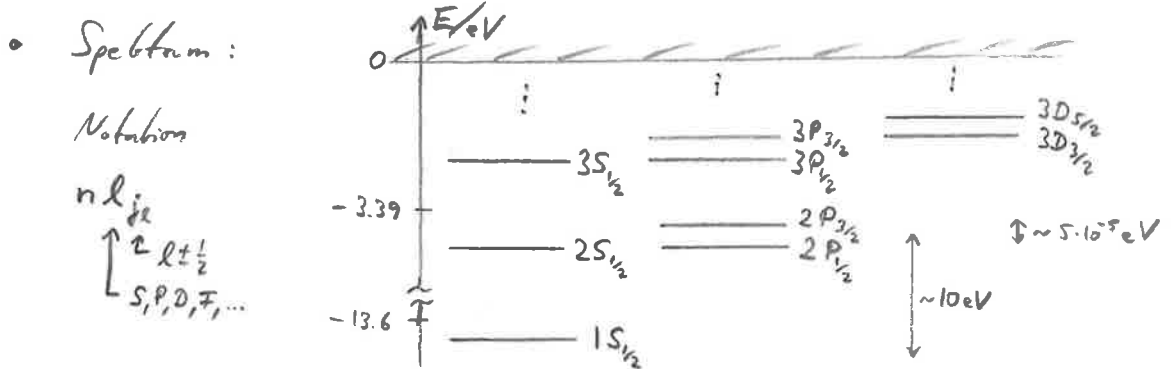
$$\text{für } l=0 : j = \frac{1}{2} : \{ \dots \} = -\frac{3}{4} + 2n - n = -\frac{3}{4} + \frac{n}{j+\frac{1}{2}}$$

$$= E_{n0} \frac{\alpha^2}{n^2} \left(-\frac{3}{4} + \frac{n}{j+\frac{1}{2}} \right)$$

also ($j \rightarrow j$) $E_{nj} = -\frac{1}{2} \mu c^2 \frac{\alpha^2}{n^2} \left\{ 1 + \frac{\alpha^2}{n^2} \left(\frac{n}{j+\frac{1}{2}} - \frac{3}{4} \right) + \dots \right\}$

Bem.: • haben "normale" Störungskleinerkeit bewahrt, trotz Entartung!
 Grund: H_{unc} vertauschen mit L^2, L_z , und diese haben verschiedene EW pro ψ_{nlm} (wobei E_n n^2 -fach entartet ist). Also sind ψ_{nlm} "gute" EZ, auch mit Störung - Glück gehabt.

• E-Korrekturen sind gegenüber den ungestörten EW um Faktor $\alpha^2 \approx \frac{1}{137^2} \approx 5 \cdot 10^{-5}$ kleiner



• die Dirac-Gly (vgl. QN II) liefert exakt

$$E_{nj} = \mu c^2 \left\{ 1 + \alpha^2 \left[n - (j + \frac{1}{2}) + \sqrt{(j + \frac{1}{2})^2 - \alpha^2} \right]^{-2} \right\}^{-\frac{1}{2}} - \mu c^2 \approx \text{so. } \mu c^2$$

dreimal $(1 \pm \epsilon)^n \approx 1 \pm n\epsilon + \frac{n(n-1)}{2} \epsilon^2 + \dots$

• weitere Korrekturen (vgl. S. 63: Lamb-Shift, Hyperfinestruktur) sorgen für weitere Aufhebung der Entartung